

ژئوشیمی و محیط تشکیل سنگ‌های سنگی مافیک در کمربند افیولیتی بلورد-بافت

نوشته: هادی شفائی مقدم***، محمد رهگشایی*، هوبرت وايت چرج***، ایمان منصف* و اعظم سلطان محمدی*

* دانشگاه علوم زمین، دانشگاه شهید بهشتی، تهران، ایران

** دانشگاه علوم زمین، دانشگاه علوم پایه دامغان، دامغان، ایران

*** مدارسه علوم زمین، دانشگاه لوئی پاستور، استراسبورگ، فرانسه

تاریخ دریافت: ۱۳۸۶/۰۸/۱۳ تاریخ پذیرش: ۱۳۸۷/۰۲/۳۰

چکیده

سنگ‌های بازالتی، گابروها، توفها، دایک‌های دیابازی، آگلومراها و برش‌ها و قطعات سنگی داخل برش‌ها از مهم‌ترین سنگ‌های مافیک افیولیت‌های بلورد-بافت است. ویژگی‌های ژئوشیمیایی این سنگ‌ها حاکی از تهی شدگی در HFSE و غنی شدگی در LILE و حضور دوسری ماقمایی توئیت‌های جزایر کمانی و کلسیمی-قلایایی است. این رفتار ژئوشیمیایی با نشأت گرفتن ماقمای والد این سنگ‌ها از یک محیط مرتبط با فروزانش سازگاری دارد. این ویژگی‌ها همراه با قرار گیری این مجموعه افیولیتی در پشت کمان ماقمایی مزوژوییک زون سنتنچ-سیرجان حاکی از گسترش یک حوضه پشت کمان (در حاشیه فعال بلوک ایران مرکزی) در طی کرتاسه میانی، در نتیجه فروزانش مایل نتویتیس به زیر بلوک ایران مرکزی می‌باشد.

کلیدواژه‌ها: سنگی توئیت جزایر کمانی، سنگی کلسیمی-قلایایی، کرتاسه میانی، حوضه پشت کمانی.

-۱- مقدمه

برای تعیین میزان عناصر اصلی و خاکی کمیاب نمونه‌های سنگی مافیک ابتدا نمونه‌هایی که کتر دگرسانی نشان می‌دادند، انتخاب شده و توسط آگات‌پودر شده‌اند. تعیین عناصر اصلی و برخی عناصر کمیاب توسط دستگاه-ICP-AES و عناصر کمیاب خاکی به همراه برخی دیگر از عناصر کمیاب همانند سرب، توریم، اورانیم، رویدیدم و غیره توسط ICP-Ms در استراسبورگ فرانسه (Centre de Geochimie de la Surface, Strasbourg) صورت پذیرفته است.

۳- زمین‌شناسی منطقه بلورد-بافت و تعیین روابط سنگی بین واحدهای افیولیتی

به طور کلی افیولیت‌های بلورد-بافت در دو نقشه ۱:۱۰۰,۰۰۰ ۱:۱۰۰,۰۰۰ بلورد و بافت رخنمون داشته (شکل ۲A و ۲B) و ادامه شمال باختری آن افیولیت‌های شهریابک است. گدازه‌های بالشی، جریان‌های بازالتی (Basaltic flows) آگلومراها (Agglomerate)، برش‌های آشیانی به همراه برش‌های سرد، توفها، ماسه‌سنگ‌های توفی، دایک‌های دیابازی، گابروها ایزوتروپ، گابروها پگماتیتی، پریدوتیت‌ها، سنگ‌آهک‌های پلازیک و چرت‌ها از مهم‌ترین واحدهای تشکیل دهنده این افیولیت‌هاستند. ماسه‌سنگ‌های توفی به همراه توف‌ها (و توفیت‌ها) در اکثر موارد دارای لایه‌بندی بوده، افزون بر این، ماسه‌سنگ‌های توفی را می‌توان به انواع دانه درشت و دانه ریز تقسیم‌بندی نمود. برش‌ها و آگلومراها دارای قطعات سنگی با ترکیب بازالتی و آندزیتی و حتی تفریق یافته‌تر در یک خمیره بازالتی و یا آندزیتی بوده که در این خمیره علاوه بر قطعات سنگی، کانی‌هایی همچون پلازیوکلاز نیز دیده می‌شوند. دایک‌های کوچک ریولیتی-ریودیستی در برخی موارد برش‌ها و آگلومراها را قطع می‌نمایند. تناوب آگلومراها، چرت‌ها، سنگ‌آهک‌های پلازیک سرخ رنگ و توفیت‌های سیلیسی در برخی موارد دیده می‌شود. قطعات سنگی برش‌ها و آگلومراها از بازالت‌های آفیریک تا بازالت‌های پورفیری پورفیری (پلازیوکلاز در ورق بلورد (شکل ۲A) رخنمون داشته که حاوی لایه‌هایی در تغییر هستند. رخنمون‌های بزرگی از بازالت‌های توده‌ای با مقادیر کمی از درشت بلورهای پلازیوکلاز در ورق بلورد از سنگ‌ها (کمتر پیروکسن) و همچنین آندزیت‌های پورفیری از سنگ‌آهک‌های پلازیک نیز هستند. در این افیولیت‌ها در بیشتر موارد، برش‌ها و آگلومراها همراه با میان‌لایه‌هایی از بازالت‌های آفیریک تا پلازیوکلاز-پیروکسن

افیولیت‌های بلورد-بافت بخشی از کمربند افیولیتی نائین-بافت است که در نقشه‌های ۱:۱۰۰,۰۰۰ ۱:۱۰۰,۰۰۰ بافت و بلورد رخنمون دارند. این افیولیت‌ها به عنوان یک آمیزه رنگین (مالاتر) زمین‌ساختی مشکل از بلوک‌هایی از سنگ‌کره اقانوسی که در طی کرتاسه بالای بر روی سنگ‌کره قاره‌ای رانده شده است، در نظر گرفته شده‌اند (برای مثال، Davoudzadeh, 1972; Berberian and King, 1981; Desmons and Beccaluva, 1983) این کمربند افیولیتی توسط زمین‌شناسان متعددی مورد بررسی قرار گرفته و به عنوان ۱-یک محیط اقیانوسی باریک همانند دریای سرخ که درین بلوک لوت و حاشیه فعال (برای مثال ۱981 Berberian & King, 1981)-۲-یک محیط مرتبط با فروزانش تیس به سن کرتاسه (برای مثال Ghazi & Hassanipak, 2000; Desmons & Beccaluva, 1983) به سن کرتاسه پایانی (برای ۳- یک حوضه پشت کمان (Back-arc basin) (Shahabpour, 2004; Agard et al., 2006) در نظر گرفته شده است. افیولیت‌های ناحیه بلورد-بافت اولین بار توسط Dimitrijevic (1973) در طی نقشه‌برداری و بازسازی چندشناختی ناحیه کرمان معرفی شد. فرض این که این افیولیت‌ها بین سنگ‌های دگرگونی زون سنتنچ-سیرجان در جنوب و جنوب باختر و کمربند ماقمایی دهچ-ساردوئیه در شمال و شمال خاور ساندویچ شده است (شکل ۱)، توسط وی ارائه شده است. کمربند ماقمایی دهچ-ساردوئیه نیز یک حوضه فعال از کرتاسه به بعد بوده است که توسط نهشته‌های فلیش مانند کرتاسه-اوسن پر شده و افزون بر این با فعالیت آشیانی اوسن-الیگوسن نیز همراه است. کمربند دهچ-ساردوئیه از طرف شمال به کمربند رفسنجان خاتمه می‌یابد (شکل ۱). مطالعه سنگ‌شناسی و ژئوشیمیایی گدازه‌های بالشی (پیلوولا) منطقه بافت توسط Arvin and Robinson (1994) Arvin and Shokri (1996) Arvin and Shokri توسط بازالت توئیتی و توئیتی حدوداً (Transitional tholeiite) را تشخیص داده و تشکیل آنها را به یک محیط سوپراسابدا کشن (Supra-subduction zone) نسبت داده است.

در این مطالعه به معرفی واحدهای سنگی این منطقه به همراه ژئوشیمی و محیط ژئodynamیکی سنگ‌های مافیک مرتبط با این افیولیت‌ها پرداخته خواهد شد.

به عنوان سیمان در بین قطعات سنگی دیده شده و یا این که حاصل از تبدیل شدگی شاردهای شیشه‌ای (با حفظ فرم شارد) است.

بلورهای شکسته شده و زاویه‌دار کوارتز به همراه تیغه‌های پلازیوکلاز از دیگر تشکیل‌دهنده‌گان این سنگ‌ها است. قطعات سنگی آندزیتی موجود در آگلومراها و برش‌های آتشفسانی با حضور فنوکریست‌های درشت (>1 میلی‌متر تا 2 میلی‌متر) و کوچک (<2 میلی‌متر) پلازیوکلاز مشخص می‌شوند. فنوکریست‌های درشت پلازیوکلاز از درشت‌بلورهای شکل دار تا نیمه شکل دار با ساختمان منطقه‌ای نوسانی، و گاه عادی-معکوس، تا درشت‌بلورهایی با حاشیه‌های تحلیل رفته همراه با ساختمان منطقه‌ای عادی-نوسانی در تغییر است. این درشت‌بلورها به طور عموم در مرکز بهشدت به کانی‌های رسی و به مقدار کمتر سریسیت دگرسان شده‌اند در حالی که حاشیه‌های کانی به نسبت سالم است. درشت‌بلورهای هورنبلند با حاشیه‌های اپاسیتیزه به صورت پسودومرف به کلریت و کانی‌های رسی تبدیل شده‌اند. خمیره این سنگ‌ها از کانی‌های رسی و کمتر کوارتزهای چندبلورین دانه‌ریز تشکیل یافته‌اند. بافت این سنگ‌ها (قطعات سنگی آندزیتی) بیشتر پورفیری با خمیره شیشه‌ای تا اینترس‌تال در تغییر است.

در مقابل، قطعات سنگی بازالتی فنوکریست‌های درشت پلازیوکلاز دارند که در حاشیه بافت Dusty نشان می‌دهند. این درشت‌بلورها در مرکز متتحمل آلتراسیون رسی-اپیدوتی شده‌اند. درشت‌بلورهای کلینوپیروکسن $20/5$ میلی‌متر در طول) در این سنگ‌ها، نیمه‌شکل دار تا بی‌شکل بوده و به طور عموم دارای ماکل هستند. خمیره سنگ به طور کامل به مواد رسی و اکسید آهن دگرسان شده‌اند. بازالت‌های توده‌ای و گذارهای بازالتی از فنوکریست‌های درشت پلازیوکلاز (از 1 میلی‌متر تا بیش از 4 میلی‌متر) که تقریباً به طور کامل به کانی‌های رسی و سریسیت دگرسان شده‌اند، تشکیل شده‌اند. بلورهای بی‌شکل تا نیمه شکل دار کلینوپیروکسن با منطقه‌بندی محسوس از دیگر تشکیل‌دهنده‌گان این سنگ‌ها هستند. خمیره سنگ از ریزبلورهای آلتیت به همراه کلریت و کانی‌های رسی تشکیل شده‌اند که در موادی میزان آلتیت بالا رفته و کل سنگ از آلتیت‌های دانه‌ریز ثانویه تشکیل شده است (آلیتوفیرها). لایه‌های بازالتی موجود در آگلومراها و برش‌ها با بافت پیلوتاکسیتیک و خمیره‌ای مشتمل از میکرولیت‌های بهشدت دگرسان شده (به کانی‌های رسی) پلازیوکلاز مشخص می‌شوند. فضای بین میکرولیت‌های پلازیوکلاز را کلریت و کانی‌های رسی پر می‌کند. ریزبلورهای کانی‌های کدر نیز در خمیره دیده می‌شوند. اپیدوت از دیگر فازهای ثانویه این سنگ‌ها است. گابروهای ایزوتروپ منطقه مورد مطالعه دارای درشت‌بلورهای پلازیوکلاز است که به شدت رسی سریسیت شده‌اند. در فضای بین این پلازیوکلازها، کلینوپیروکسن‌ها به صورت بافت اینترگرانول رشد کرده‌اند. شکل این کلینوپیروکسن‌ها تابعی از فضای خالی بین پلازیوکلازها بوده، بنابراین بی‌شکل تا نیمه‌شکل دار هستند. کلریتی، اورالیتی و رسی‌شدن از محصولات دگرسانی این کلینوپیروکسن‌ها است. در رخسارهای دیوریتی در بین پلازیوکلازهای به شدت دگرسان شده تیغه‌های سبز رنگ (سبز پریده) اکتینولیت، به صورت بی‌شکل و یا به صورت فیبرهای کشیده، رشد کرده است.

۵- ژئوشیمی واحدهای مافیک افیولیت‌های بلور-بافت

در نمودار مجموع قلایای‌ها در برابر اکسید سیلیسیم (شکل ۳A)، نمونه‌های مورد مطالعه، از نظر ترکیبی محدوده بازالت، تراکی بازالت و آندزیت بازالتی، نمودار را اشغال می‌نمایند. برخی از نمونه‌هایی که دارای میزان LOI بالا و در نتیجه از دست دادن اکسید سیلیسیم می‌باشند، از این روند مستثنی هستند. افزون بر این، برش‌ها و آگلومراها ترکیب آندزیتی و نمونه گذارهای باشی ترکیب تراکی آندزیتی با

فیریک هستند. گذارهای بالشی از دیگر واحدهای سنگی این افیولیت‌ها هستند که به شدت اسپیلیتی شده و در برخی موارد به آلبیتوفیر تبدیل شدگی نشان می‌دهند. گابروهای ایزوتروپ ریزبلور تا متوسط بلور (در اکثر موارد با رخسارهای دیوریتی در اثر دگرسانی)، به صورت توode‌های کوچکی، بویژه در ورقه بافت (شکل ۲B)، با همیری تکتونیزه با دیگر واحدهای افیولیتی دیده می‌شوند. دایک‌های دیابازی (رودونزیتی شده) در این مجموعه افیولیتی در درون پریدوتیت‌ها رخمنو داشته و در بیشتر موارد بودیناژ شده‌اند. سنگ‌آهک‌های پلازیک همراه با چرت‌ها و با سن کرتاسه پسین (سنونین-ماستریشین) به صورت ناپیوستگی بر روی برش‌ها و آگلومراها (و حتی سرپانتینیت‌ها) واقع شده‌اند. سنگ‌آهک‌های پلازیک سفید رنگ در برخی موارد همراه با میان لایه‌هایی از سنگ‌آهک‌های رسی قهوه‌ای رنگ دیده می‌شوند. توالی‌های اثوسن در این مجموعه افیولیتی توسط توالی از کنگلومراها دانه‌ریز تا دانه درشت، ماسه‌سنگ‌ها و سنگ‌آهک‌های نریتیک نومولیت‌دار مشخص می‌شوند که به صورت ناپیوستگی توالی افیولیتی را می‌پوشاند (شکل ۲A).

۴- سنگ‌نگاری و روابط کانیایی در واحدهای مافیک افیولیت‌های بلور-بافت

توف‌ها و لاپلی تووف‌ها دارای فنوکریست‌های به نسبت درشت (>1 میلی‌متر) کوارتز بوده که این دانه‌ها توسط حاشیه‌های خورده شده و گرد شده مشخص می‌شوند. قطعات سنگی موجود در این نمونه‌ها اکتون به کوارتزهای چندبلورین (پلی‌کریستالین) ریز بلور تبدیل شده‌اند. برخی از قطعات سنگی با حضور تیغه‌های بسیار کوچک آلتیت و کلریت مشخص می‌شوند. فضاهای خالی بین قطعات سنگی توسط کلریت پر شده است. افزون بر این، در خمیره سنگ کلریت (حاصل از دگرسانی شاردهای شیشه‌ای و با حفظ فرم پیشین شارد) نیز حضور دارد. از طرف دیگر آگلومراها دارای قطعات سنگی بازالتی-آندزیتی و حتی داسیتی بوده که در این قطعات سنگی، میکرولیت‌های پلازیوکلاز در خمیره‌ای مشکل از کانی‌های رسی تیره رنگ به همراه کلریت شناورند. برخی از این قطعات سنگی دارای بادامک‌هایی پر شده از کلریت است. کلریت به صورت بی‌شکل به همراه کوارتزهای دانه‌ریز چندبلورین به عنوان سیمان در بین قطعات سنگی دیده شده و یا این که حاصل از تبدیل شدگی شاردهای شیشه‌ای تیغه‌های پلازیوکلاز از دیگر تشکیل‌دهنده‌گان این سنگ‌ها است. قطعات سنگی درشت (>1 میلی‌متر تا 2 میلی‌متر) و کوچک (<2 میلی‌متر) پلازیوکلاز مشخص می‌شوند. درشت‌بلورهای پلازیوکلاز از درشت‌بلورهای شکل دار تا نیمه‌شکل دار با ساختمان منطقه‌ای نوسانی، و گاه عادی-معکوس، تا درشت‌بلورهای با حاشیه‌های تحلیل رفته همراه با ساختمان منطقه‌ای عادی-نوسانی در تغییر است. این درشت‌بلورها اغلب در مرکز بشدت به کانی‌های رسی و به مقدار کمتر سریسیت دگرسان شده‌اند در حالی که حاشیه‌های کانی به نسبت سالم است. درشت‌بلورهای هورنبلند با حاشیه‌های اپاسیتیزه به صورت پسودومرف به کلریت و کانی‌های رسی تبدیل شده‌اند. خمیره این سنگ‌ها از کانی‌های رسی و کمتر کوارتزهای چندبلورین دانه‌ریز تشکیل یافته‌اند. بافت این سنگ‌ها (قطعات سنگی آندزیتی) بیشتر پورفیری با خمیره شیشه‌ای تا اینترس‌تال در تغییر است.

قطعات سنگی بازالتی-آندزیتی و حتی داسیتی بوده که در این قطعات سنگی، میکرولیت‌های پلازیوکلاز در خمیره‌ای مشکل از کانی‌های رسی تیره رنگ به همراه کلریت شناور است. برخی از این قطعات سنگی دارای بادامک‌هایی پر شده از کلریت است. کلریت به صورت بی‌شکل به همراه کوارتزهای چندبلورین

HFSE و غنی شدگی در LILE و علاوه بر این حضور توأم سری کلسمی-قلایابی و تولیت جزایر کمانی مشخص می‌شوند. تهی شدگی در Nb در نمودار Hf-Nb-Th (Wood, 1980) نیز مشهود است (شکل B^۳). در این نمودار بیشتر نمونه‌ها در حوضه تولیت‌های جزایر کمانی و حوضه کلسمی-قلایابی قرار می‌گیرند. اساساً تهی شدگی در HFSE به گدازه‌های مشتق شده از مناطق مرتبط با کمان آتشفسانی نسبت داده می‌شود (برای مثال McCulloch & Gamble, 1991). از طرف دیگر غنی شدگی در LILE با ذوب یک گوشته آلوده شده توسط سیال‌ها حاصل از ورقه فرورانش سازگار است (برای مثال Taylor & Martinez, 2003). به طور کلی بازالت‌های حوضه‌های (Stern et al., 1990) Mariana Trough (Frenzel et al., 1990) و یا حوضه Lau (برای مثال Weaver et al., 1982) به خوبی مطالعه شده‌اند. از نظر ژئوشیمیایی بازالت‌های مرتبط با حوضه‌های پشت کمان حدوداً میان IAT و MORB هستند (Saunders and Tarney, 1991)، یعنی آنچه که در مورد افیولیت‌های بلور-بافت نیز صدق می‌کند.

۶- تکامل ساختاری و جایگاه تشکیل افیولیت‌های بلور-بافت

با شروع فرورانش نتویس به زیربلوک ایران مرکزی در تریاس بالایی-ژوراسیک زیرین، زون سنندج-سیرجان به عنوان حاشیه فعال بلوک ایران مرکزی عمل نموده است. حضور آتشفسانی‌ها و نفوذی‌های با همین سن، با گرایش کلسمی-قلایابی در زون سنندج-سیرجان حاکی از تکامل کمان آتشفسانی مزوژوییک در این زون دارد (Berberian and King, 1981). اساساً "فرورانش نتویس از نوع مورب بوده (Berberian and King, 1981; McClay et al., 2004) که در طی کرتاسه میانی شدت گرفته و باعث بالاًمدگی (Exhumation) شیسته‌های آبی منطقه اسفتدقه شده است (Agard et al., 2006). به دنبال این فرورانش مورب، یک حوضه پشت کمان کششی باریک (Narrow transtensional back-arc basin)، در امتداد گسل‌های امتداد لغز (Transeurrent faults)، در حاشیه فعال ایران مرکزی یا زون سنندج-سیرجان، در پشت کمان مزوژوییک ایران، شروع به باز شدن نموده است.

تعیین سن‌های پتاسیم-آرگون بر روی بلورهای آمفیبول موجود در گابروها و آمفیبولیت‌های کمریند افیولیتی نائین-بافت دامنه سنی برابر کرتاسه میانی تا کرتاسه بالایی (Shafaii Moghadam et al., 2007) را به دست داده است (شکل ۱۱۳ میلیون سال). این دامنه سنی با نتایج سنی حاصل از میکروفیل های آهک‌های پلازیک این کمریند افیولیتی، یعنی سونینین تا ماستریشتن، مطابقت دارد. بنابراین، زمان باز شدن و تکامل حوضه پشت کمان نائین-بافت به کرتاسه میانی نسبت داده می‌شود. با توجه به شواهدی همچون نبود رسوب‌گذاری در ائوسن زیرین وجود کنگلومراها و رسوبات تخریبی پالئوسن میانی-همراه با رسوب‌گذاری آهک‌های تخریبی (Detritic limestones) (به سن پالئوسن میانی-

ائوسن زیرین، زمان بسته شدن این حوضه را می‌توان به پالئوسن زیرین نسبت داد. بنابراین ماقمای سازنده این حوضه اقیانوسی (نائین-بافت)، از ذوب بخشی یک گوه گوشته‌ای که متأثر از سیال‌های ناشی از صفحه فرورانش شده نتویس بوده، حاصل شده است.

۷- نتیجه‌گیری

به طور کلی سنگ‌های ماگمایی مافیک-حدوداً افیولیت‌های بلور-بافت را می‌توان به چند دسته شامل سنگ‌های بازالتی، گابروها، توف‌ها، برش‌ها و آگلومراها، قطعات سنگی داخل برش‌های آتشفسانی و دایک‌های دیابازی تقسیم کرد. تهی شدگی در HFSEها و غنی شدگی در LILE و همچنین حضور همزمان دو سری تولیت

میزان اکسید سیلیسیم به نسبت بالا (۶۰/۸ درصد وزنی) دارند.

۵-۱. قطعات سنگی موجود در برش‌ها و آگلومراها

با توجه به میزان اکسید سیلیسیم (همراه با مطالعات سنگ‌شناسی) قطعات سنگی رامی‌توان به انواع بازالتی (با اکسید سیلیسیم برابر حدود ۴۳ تا ۴۷)، و انواع آندزیتی-آندرزیت بازالتی (با اکسید سیلیسیم برابر ۵۷ تا ۵۹ درصد وزنی) تقسیم‌بندی نمود. در نمودار REE بهنجار شده نسبت به کندریت (شکل ۴) دو روند برای این سنگ‌ها قابل مشاهده است. ۱- روند کم و بیش مسطح ($\text{La}_{(\text{N})}/\text{Yb}_{(\text{N})} = 1.7-2.1$) و ۲- یک روند تغیریق یافته، با غنی شدگی در REE‌ها (برای مثال ۴.۱-۵.۲). تهی شدگی در Nb و همراه با غنی شدگی در عنصر LILE‌ها برای این دو روند به ترتیب ییانگر سری‌های مرتب با تولیت‌های جزایر کمانی (IAT) و سری‌های کلسمی-قلایابی است (شکل‌های B^۳ و ۵).

۵-۲. آگلومراها و برش‌های آندزیتی

همانند قطعات سنگی موجود در برش‌ها دارای دو روند در الگوی REE‌ها هستند. (شکل ۴): ۱- یک روند بهشدت تغیریق یافته با غنی شدگی در LREE (۷.۳) و ۲- یک الگوی مشابه با MORB‌ها با تهی شدگی در LREE (۰.۶-۰.۷). تهی شدگی در Ta, Nb, Ti ($\text{La}_{(\text{N})}/\text{Yb}_{(\text{N})} = 0.6-0.7$) و غنی شدگی در Th (برای سری کلسمی-قلایابی) به ترتیب وجود سری کلسمی-قلایابی و تولیت جزایر کمانی را محرز می‌سازد (شکل ۵).

۵-۳. سنگ‌های بازالتی

سنگ‌های بازالتی منطقه دارای یک روند REE کم و بیش مسطح ($\text{La}_{(\text{N})}/\text{Yb}_{(\text{N})} = 0.7-1.2$) همراه با تهی شدگی در Ta و Nb می‌باشند. در مقابل، نمونه گدازه‌های بالشی دارای یک غنی شدگی نسبی در LREE‌ها ($\text{La}_{(\text{N})}/\text{Yb}_{(\text{N})} = 1.5$) همراه با غنی شدگی در دیگر LILE و تهی شدگی در HFSE (که مشخصه سری کلسمی-قلایابی است) (شکل ۵).

۵-۴. توف‌ها

با توجه به خواص ژئوشیمیایی این سنگ‌ها، یعنی الگوی REE بهنجار شده کم و بیش مسطح ($\text{La}_{(\text{N})}/\text{Yb}_{(\text{N})} = 0.6-1.9$) و تهی شدگی در HFSE می‌توان محیط تشکیل آنها را به یک زون مرتبط با فرورانش (SSZ) نسبت داد.

۵-۵. دایک‌های دیابازی

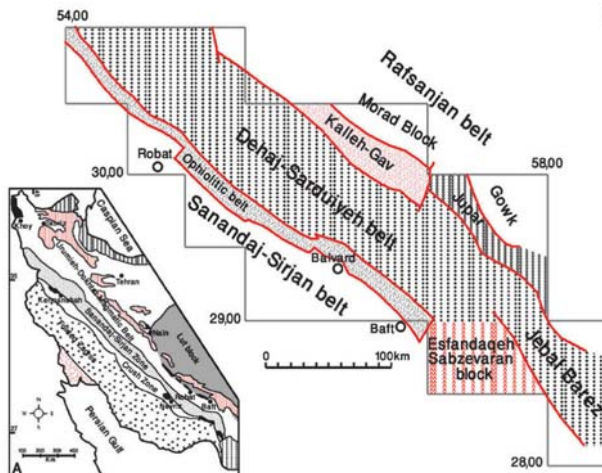
دو الگوی REE متفاوت یکی مسطح ($\text{La}_{(\text{N})}/\text{Yb}_{(\text{N})} = 0.8$) و دیگری با غنی شدگی محسوس در LREE ($\text{La}_{(\text{N})}/\text{Yb}_{(\text{N})} = 2.2$) را می‌توان برای دایک‌های دیابازی منطقه در نظر گرفت (شکل ۴). از طرف دیگر دایک‌های دیابازی تهی شدگی چشمگیری در HFSE نشان نداده و افزون بر این، پتابسیم نیز دارای بی‌هنچاری مثبتی نیست (شکل ۵). بنابراین این رفتار ژئوشیمیایی دایک‌های دیابازی مشابه با رفتار ژئوشیمیایی بازالت‌های تولیتی انتقالی (T-MORB) است.

۵-۶. گابروها

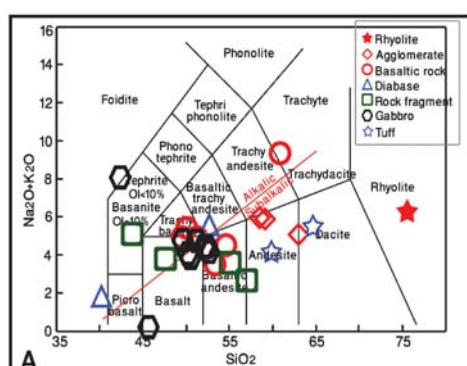
برای گابروها این مجموعه افیولیتی با توجه به الگوی عناصر کمیاب خاکی (بهنجار شده نسبت به کندریت) و همچنین الگوی عناصر کمیاب (بهنجار شده نسبت به گوه شده اولیه) می‌توان به طور کلی سه روند را برشمرد (شکل ۴ و ۵): ۱- یک روند مسطح در الگوی عناصر نادر خاکی ($\text{La}_{(\text{N})}/\text{Yb}_{(\text{N})} = 1.1-1.8$) همراه با تهی شدگی در Nb و Ta و ۲- یک روند مسطح ($\text{La}_{(\text{N})}/\text{Yb}_{(\text{N})} = 1.8-2.2$) که مشخصه IAT است. ۳- یک روند نسبت به Ta و Nb (برای نمونه‌های BT05-3; BT05-5) همانند MORB (BT05-3; BT05-5) است. تهی شدگی در Ta و Nb در HFSE در عناصر کمیاب خاکی سبک ($\text{La}_{(\text{N})}/\text{Yb}_{(\text{N})} = 0.7$) و بدون تهی شدگی در عناصر کمیاب خاکی سبک ($\text{La}_{(\text{N})}/\text{Yb}_{(\text{N})} = 0.7$) که این رفتار ژئوشیمیایی (برای نمونه ۲۲-۰۶) همانند Rftar N-MORB است. همانطور که از نمودارهای چند عنصری (بهنجار شده نسبت به گوه شده اولیه) برمی‌آید (شکل ۵) سنگ‌های مافیک مجموعه افیولیتی بلور-بافت توسط تهی شدگی در

مختلف غنی شدگی/نهی شدگی در ناحیه گوشه‌ای منشأ است. در حقیقت افیولیت‌های بلورد-بافت (و یا نائین-بافت) مرتبط با گسترش یک حوضه پشت کمان، در پشت کمان مژوزویک سندج-سیرجان، در حاشیه فعال بلوک ایران مرکزی در نتیجه فروزانش مایل نتویس است. با توجه به سن‌های پتابسیم-آرگون به دست آمده ایجاد و تکامل این حوضه مربوط به کرتاسه میانی بوده است.

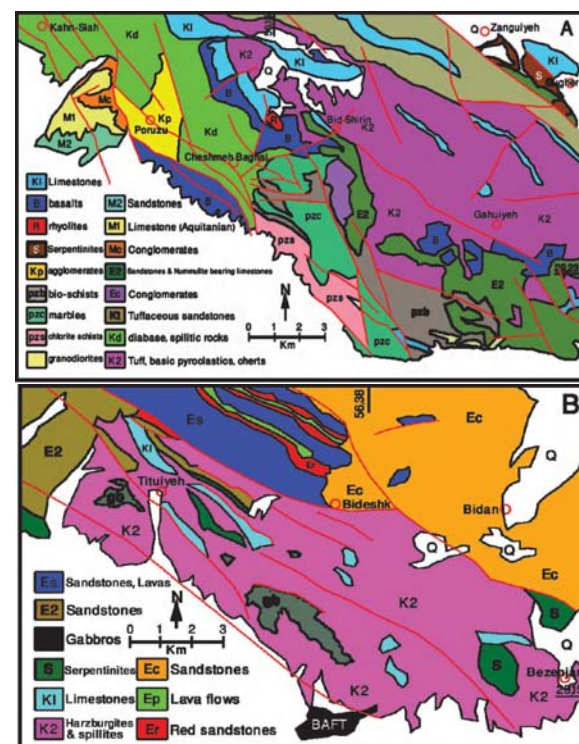
جزایر کمانی و سری کلسیمی-قلیابی از مهم‌ترین ویژگی‌های سنگ‌های مافیک این مجموعه افیولیتی است. تکیه بر رفتار ژئوشیمیابی این سنگ‌ها می‌توان برای تشکیل آنها یک محیط مرتبط با کمان ماقمایی یا سوپراسابداکشن زون را پیشنهاد شد. الگوی بهنجارشده REE ها برای سنگ‌های مافیک این افیولیت‌ها متعدد بوده و در ارتباط با درجات متفاوت ذوب بخشی (با الگوی مسطح و یا تهی شدگی در LREE)، تبلور جزء به جزء (غنی شدگی تدریجی در کل REE‌ها) و یا درجات



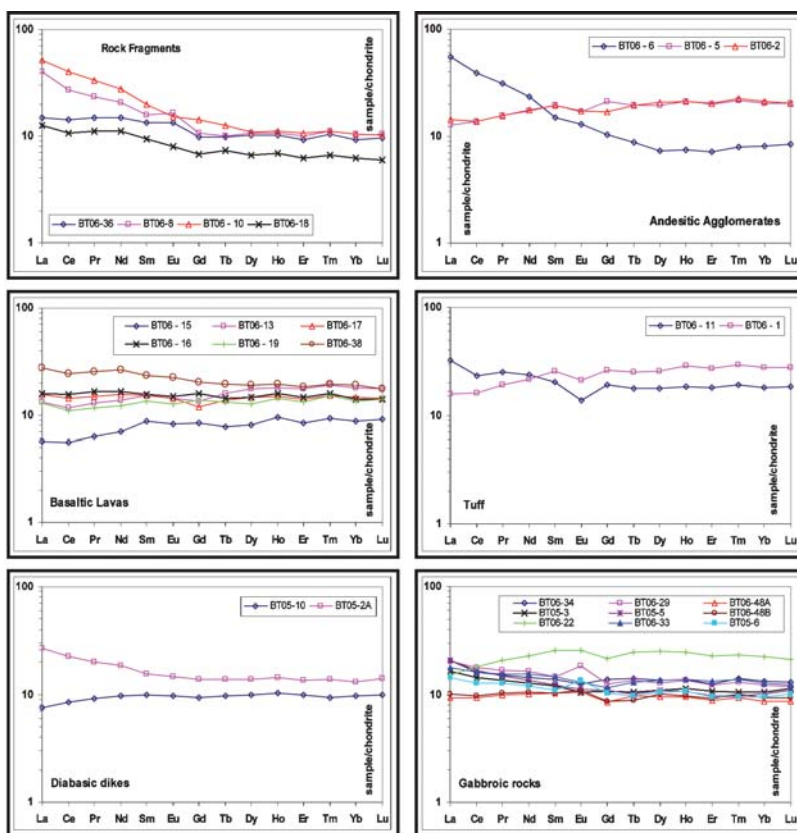
شکل ۱-۱) پراکندگی افیولیت‌های ایران با تأکید بر موقعیت افیولیت‌های بلورد-بافت و (B) همچنین تقسیم‌بندی زمین‌شناسی ناحیه مورد مطالعه شامل نوار افیولیتی بلورد-بافت با تغییرات از (Dimitrijevic, 1973)



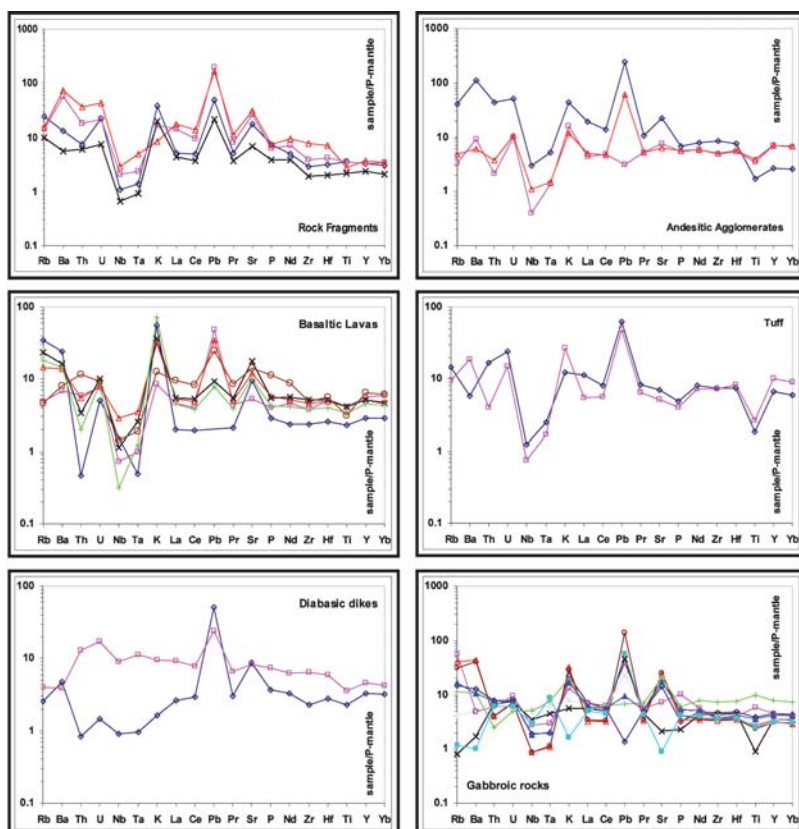
شکل ۱-۳ (A) نمودار مجموع قلیابی‌ها در مقابل اکسید سیلیسیم (Le Bas et al., 1986) و (B) نمودار Hf-Nb-Th (Wood, 1980) برای سری‌های سنگی مجموعه افیولیتی بلورد-بافت.



شکل ۲- نقشه زمین‌شناسی و پراکندگی واحدهای سنگی در افیولیت‌های منطقه بلورد و بافت (با تغییرات از نقشه زمین‌شناسی بلورد ورقه ۷۷۴۸ و نقشه زمین‌شناسی بافت ورقه ۷۳۴۸).



شکل ۴- نمودارهای عناصر نادر خاکی بهنجارشده نسبت به کندریت برای سری‌های سنگی نوار افیولیتی بلورد-بافت.



شکل ۵- نمودارهای چند عنصری بهنجارشده نسبت به گوشه اولیه برای سری‌های سنگی نوار افیولیتی بلورد-بافت.

References

- Agard, P., Monie, P., Gerber, W., Omrani, J., Molinaro, M., Meyer, B., Labrousse, L., Vrielynck, B., Jolivet, L. & Yamato, P., 2006- Transient, synobduction exhumation of Zagros blueschists inferred from P-T, deformation, time, and kinematic constraints: Implications for Neotethyan wedge dynamics, *J. Geophys. Res.*, 111: B11401, doi: 10.1029/2005JB004103.
- Arvin, M. & Robinson, P. T., 1994 - The petrogenesis and tectonic setting of lavas from the Baft ophiolitic mélange, southwest of Kerman, Iran, *Can. J. Earth Sciences*, 31: 824-834.
- Arvin, M. & Shokri, E., 1997- Genesis and eruptive environment of basalts from the Gogher ophiolitic mélange, southwest of Kerman, Iran, *Ophioliti*, 22: 175-182.
- Berberian, M. & King, G. C. P., 1981- Towards a paleogeography and tectonic evolution of Iran, *Can. J. Earth Sciences*, 18: 210-265.
- Davoudzadeh, M., 1972- Geology and petrography of the area north of Nain, Central Iran, Geological Survey of Iran, report No.14.
- Desmons, J. & Beccaluva, L., 1983- Mid-ocean ridge and island arc affinities in ophiolites from Iran: paleographic implications, *Chemical Geology*, 39: 39-63.
- Dimitrijevic, M. D., 1973- Geology of Kerman Region, Geological Survey of Iran, No. Yu/52.
- Frenzel, G., Muhe, R. & Stoffers, P., 1990- Petrology of the volcanic rocks from the Lau Basin, southwest Pacific, *Geol. Jb.*, 92: 395-479.
- Geological Map of Baft, 1972- 1/100000 series, Geological Survey of Iran, sheet 7348.
- Geological Map of Balvard, 1972- 1/100000 series, Geological Survey of Iran, sheet 7248.
- Ghazi, A. M. & Hassanipak, A. A., 2000- Petrology and geochemistry of the Shahr-Babak ophiolite, Central Iran, Geological Survey of America, Special paper, 349: 485-497.
- McClay, K. R., Whitehouse, P. S., Dooley, T. & Richards, M., 2004 - 3D evolution of fold and thrust belts formed by oblique convergence, *Marine Petrol. Geol.*, 21: 857-877.
- McCulloch, M. T. & Gamble, J. A., 1991- Geochemical and geodynamical constraints on subduction zone magmatism, *Earth Planet. Sci. Lett.*, 102: 358-375.
- Saunders, A. & Tarney, J., 1991- Back-arc basins. in: Floyd, P.A. (ed.), *Oceanic basalts*, Blackie and Son Ltd., 219-263.
- Shafaii Moghadam, H., Rahgoshay, M., Whitechurch, H. & Montigny, R., 2007- A geochemical scenario for evolution of the Nain-Baft back-arc basin, Goldschmidt Conference Abstracts, A920.
- Shahabpour, J., 2004 - Tectonic evolution of the orogenic belt in the region located between Kerman and Neyriz, *J. Asian Earth Sci.*,
- Stern, R. J., Lin, P. N., Morris, J.D., Jackson, M.C., Fryer, P., Bloomer, S.H. & Ito, E., 1990- Enriched back-arc basin basalts from the northern Mariana Trough: implications for the magmatic evolution of back-arc basins, *Earth Planet. Sci. Lett.*, 100: 210-225.
- Taylor, B. & Martinez, F., 2003- Back-arc basin basalt systematics, *Earth Planet. Sci. Lett.*, 210: 481-497.
- Weaver, S. D., Saunders, A. D., Pankhurst, R. J. & Tarney, J., 1979- A geochemical study of magmatism associated with the initial stages of back-arc spreading: Quaternary volcanics of Bransfield Strait, South Shetland Islands, *Contrib. Mineral. Petrol.*, 68: 151-169.

Geochemistry and Eruptive Environment of the Mafic Rock Series in the Balvard-Baft Ophiolites

By: H. Shafaii Moghadam*, **, M. Rahgoshay*, H. Whitechurch***, I. Monsef* & A. Soltan Mohamadi*

*Faculty of Earth Sciences, Shahid Beheshti University, Tehran, Iran

** Faculty of Earth Sciences, Damghan University, Damghan, Iran

***Ecole et Observatoire des Sciences de la Terre, Universite de Louis Pasteur, Strasbourg, France

Received: 2007 November 04

Accepted: 2008 May 19

Abstract

Basalts, gabbros, tuffs, diabasic dikes, agglomerates and breccias and the rock fragments of breccias are the main mafic constituents of the Balvard-Baft ophiolites. Geochemical signatures of these rocks reveal depletion in HFSE and enrichment in LILE and simultaneous occurrence of island-arc tholeiitic and calc-alkalic volcanisms. These geochemical behaviors are the evidences suggesting that these mafic rocks are of supra-subduction zone affinity. These special signatures associated with the position of the Nain-Baft ophiolitic belt behind the Mesozoic magmatic arc of the Sanandaj-Sirjan zone, suggest back-arc spreading (in the active margin of the Central Iranian block), during middle Cretaceous due to the oblique subduction of Neo-Tethys beneath the Central Iranian block.

Keywords: Island-arc tholeiites, Calc-alkaline affinity, Middle Cretaceous, Back-arc basin.

For Persian Version see pages 155 to 160

E-mail: hadiShafaii@dubs.ac.ir

Geochemistry and Metallogeny of Calcalkaline , Shoshonitic and Adakitic Igneous Rocks Associated with Porphyry Cu-Mo Vein Type Deposits of Dehaj- Sardueh Volcano – Plutonic Belt, Kerman

By: H. Atapour* & A. Aftabi**

*Geological Survey of Iran, Kerman, Iran

**Dep. of Geology, Shahid Bahonar University of Kerman, Kerman, Iran

Received: 2008 February 12 Accepted: 2009 April 18

Abstract

Magmatism in Dehaj- Sardueh volcanic belt has been occurred in three phases. The first magmatic phase consists of Eocene volcanic rocks (tephrite –phonolite, basalt, trachybasalt, tracyandesite, andesite, dacite, rhyolite and pyroclastic rocks) of Bahraseman, Razak and Hezar complex. With increasing angle of subduction, the acidic (Bahraseman complex), intermediate (Razak complex) and basic volcanism (Hezar complex) occurred in Dehaj – Sardueh volcanic belt. After ceasing the volcanism, the Oligo-Miocene granitoid rocks (gabbro-diorite, diorite, monzonite, quartz diorite, granodiorite, quartz monzonite and granite) with calcalkaline, potassic calcalkaline and shoshonitic affinity intruded into the volcanic rocks, forming the first phase of porphyry copper mineralization. The second magmatic pulse includes Neogene volcanic rocks (dacite – rhyodacite- rhyolite) and plutonic bodies (diorite – quartz diorite) of flat subduction- related calcalkaline-adakitic affinity, associated with the second phase of porphyry copper and polymetallic vein mineralization. Polymetallic vein type mineralization occurs in volcanic rocks, but genetically is related to porphyry mineralization and tectonomagmatic characteristics of the belt. The occurrence of ignimbrite strongly indicates a continental arc subduction setting. The high values of incompatible elements such as K, Rb and Ba show that porphyry copper and their host igneous rocks were developed by partial melting of metamorphosed oceanic crust and mantle wedge (phlogopite eclogite and or phlogopite amphibolite) in a continental arc setting. The third magmatic phase is characterized by the occurrences of postcollisional lamprophyres and basaltic lavas of potassic and alkaline affinity. The final postmagmatic activity was related to the vast occurrences of Quaternary travertine deposits.